

СООБЩЕНИЯ
ОБЪЕДИНЕННОГО
ИНСТИТУТА
ЯДЕРНЫХ
ИССЛЕДОВАНИЙ
ДУБНА



С343а
П-275

19/11 76

P4 - 9465

1401/2-76

В.П.Пермяков, Г.Шульц

ДИНАМИЧЕСКИЕ ЭФФЕКТЫ
ПРИ ВЗАИМОДЕЙСТВИИ СЛОЖНЫХ ЯДЕР

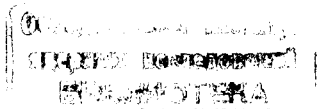
1976

P4 - 9465

В.П.Пермяков, Г.Шульц*

ДИНАМИЧЕСКИЕ ЭФФЕКТЫ
ПРИ ВЗАИМОДЕЙСТВИИ СЛОЖНЫХ ЯДЕР

* Центральный институт ядерных исследований,
г. Россендорф (ГДР).



1. Проблеме искажений формы сталкивающихся ядер и их возможным проявлениям в широком классе реакций между сложными ядрами /упругое и неупругое рассеяние, реакции многонуклонной передачи и полного слияния/ посвящено значительное число работ /1-5,8,9/. Тем не менее, как теоретические, так и экспериментальные исследования не полны, и проблема нуждается в более корректном рассмотрении. В первой части настоящей работы мы проанализируем влияние динамических искажений формы ядер на величину кулоновского барьера V_B . За основу примем определение кулоновского барьера, данное в работах /4-5/:

$$V_B = \max [V_{\text{кул}}^{(i)}(r, \beta_\lambda^{(i)}) + V_{\text{яд}}(r, \beta_\lambda^{(i)})], \quad /1/$$

где $V_{\text{кул}}$ определено как в /4/, $\beta_\lambda^{(i)}$ - параметры, описывающие форму ядер. Для ядерного потенциала принята наиболее часто употребляемая форма Саксона-Вудса. Выражение /1/ можно записать в удобной с точки зрения экспериментального измерения форме, приняв параметризацию /4/:

$$\begin{aligned} \left(\begin{array}{l} \text{пороговая} \\ \text{энергия} \\ \text{слияния} \end{array} \right) &= \left(\begin{array}{l} \text{барьеру взаимодействия } E_I \\ \text{для наиболее предпочтительных} \\ \text{ориентаций в лобовых} \\ \text{столкновениях} \end{array} \right) \equiv \\ &= \frac{Z_1 Z_2 e^2}{r^{\text{eff}} (A_1^{1/3} + A_2^{1/3})} \quad /2/ \end{aligned}$$

Таким образом, проблема перенормировки кулоновского барьера вследствие действия ядерных и кулоновских сил сводится к определению величины r^{eff} .

Следует отметить, что решение уравнения /1/ не всегда имеет место, т.е. для заданного Z_2 ядра-мишени не все Z_1 налетающих ионов обеспечивают выполнение

соотношения /1/ /4/. Оценка $(Z_1 Z_2 e^2)$ в /4/ была проведена без учета эффекта динамической деформации. Приняв во внимание эффекты искажения формы ядер, рассчитаем новое значение $(Z_1 Z_2 e^2)_{кр}$. Для ядер, обладающих статической квадрупольной деформацией $\beta_2^{(1)}$, $\beta_2^{(2)}$ примем обычное определение для радиуса сильного взаимодействия:

$$R_0 = R_{01} [1 + (5/4 \pi)^{1/2} \beta_2^{(1)} P_2 (\cos \theta_1)] + \\ + R_{02} [1 + (5/4 \pi)^{1/2} \beta_2^{(2)} P_2 (\cos (\pi - \theta_2))]. \quad /3/$$

$$R_{0i} \approx 1,23 A_i^{1/3}$$

Максимум ядерных сил /для потенциала Саксона-Вудса/

$$\frac{\partial V_{яд}}{\partial R} \Big|_{R=R_0} = -\frac{V_0}{4d}; \quad \frac{\partial V_{кул}}{\partial R} \Big|_{R=R_0} = -\frac{Z_1 Z_2 e^2}{R_0^2} = -\frac{V_c}{R_0}. \quad /4/$$

Таким образом, для $(Z_1 Z_2 e^2)_{кр}$ /без учета динамических эффектов/, имеем:

$$(Z_1 Z_2 e^2)_{кр} \approx -\frac{V_0}{4d} R_0^2. \quad /5/$$

Если принять во внимание, что ядра обладают конечной жесткостью C_2 , то:

$$R_0 \rightarrow R_{01} [1 + (5/4 \pi)^{1/2} (\beta_2^{(1)} - \frac{\gamma_1}{C_2^{(1)} R_0^3}) P_2 (\cos \theta_1)] + \\ + R_{02} [1 + (5/4 \pi)^{1/2} (\beta_2^{(2)} - \frac{\gamma_2}{C_2^{(2)} R_0^3}) P_2 (\cos (\pi - \theta_2))] \approx \quad /6/$$

$$\approx R_0 - (5/4 \pi)^{1/2} \left(\frac{R_{02} \gamma_1 P_2 (\cos \theta_1)}{C_2^{(1)} R_0^3} + \right.$$

$$\left. + \frac{R_{02} \gamma_2 P_2 (\cos (\pi - \theta_2))}{C_2^{(2)} R_0^3} \right).$$

$$\gamma_i = \frac{3}{2 \sqrt{5} \pi} Z_1 Z_2 e^2 R_{0i}^2.$$

Тогда, для $(Z_1 Z_2 e^2)_{кр}$ получаем новое значение:

$$(Z_1 Z_2 e^2)_{кр} = \frac{V_0}{4d} R_0^2 = (Z_1 Z_2 e^2)_{кр} [1 - 2(5/4 \pi)^{1/2} \times \quad /7/$$

$$\times \left(\frac{R_{01} \gamma_1 P_2 (\cos \theta_1)}{C_2^{(1)} R_0^4} + \frac{R_{02} \gamma_2 P_2 (\cos (\pi - \theta_2))}{C_2^{(2)} R_0^4} \right) = \\ = a (Z_1 Z_2 e^2)_{кр}.$$

Расчеты, выполненные для различных ядер, показывают, что $0,8 \leq a \leq 1$. Это означает, что для заданной пары "налетающий ион+ядро-мишень" кулоновский барьер возрастает вследствие эффектов искажения формы ядер.

Отметим, что расчеты эффектов динамической деформации в /6,7/ выполнены без учета ядерных сил. Однако, как это следует из /1/, ядерные силы необходимо учитывать при определении высоты барьера V_B . На это обстоятельство уже обращалось внимание в работе /4/. Там же дана интерпретация часто используемой параметризации /2/. В дополнение к выводам автора работы /4/ отметим, что, поскольку кулоновские силы являются дальнедействующими, то они "подготавливают" ядра к моменту включения ядерных сил, перенормируя радиусы среднего поля ядер R_{0i} . Таким образом, кулоновские силы

как в адиабатическом, как и неадиабатическом приближениях действуют в одном направлении - в сторону увеличения высоты кулоновского барьера. Что касается ядерных сил, то они играют двойную роль в определении барьера. С одной стороны, ядерные силы действуют в направлении, обратном кулоновским силам и тем самым должны приводить к уменьшению динамических искажений, вызванных кулоновскими силами. С другой стороны, по ядерным силам реализуется ситуация, известная в литературе как приближение удара, т.е. взаимодействие ядер с учетом ядерных сил носит существенно неадиабатический характер. Это приводит к возбуждению ядер уже на первой стадии слияния. Таким образом, определение для $V_B/1/$, строго говоря, верно только в адиабатическом приближении, т.е. когда предполагается, что на каждом этапе взаимодействия системы успевают следить за изменениями внешнего поля. Это означает, в свою очередь, что ядра могут изменять свою форму /деформироваться/, оставаясь при этом "холодными".

Если теперь принять во внимание, что параметры $\beta_{\lambda}^{(i)}$, описывающие форму ядер, изменяются с заметной скоростью, то для V_B следует принять другое определение:

$$V_B = V_B^{(1)} + \overline{E^*} \quad /8/$$

где $V_B^{(1)}$ - кулоновский барьер, рассчитанный с учетом эффектов динамической деформации в адиабатическом приближении, а $\overline{E^*}$ отражает собою неадиабатические эффекты, т.е. величину диссипации энергии на внутренние степени свободы ядер из кинетической энергии относительно движения ядер. Величину $\overline{E^*}$ легко рассчитать, если принять для внутренних коллективных гамильтонианов ядер приближение эффективного осциллятора /полный гамильтониан включает $T_{кин} + V_{внутр.} + N_{внешнее поле}$, т.е. имеем задачу о квантовом осцилляторе во внешнем поле /6/ /. Отметим, что метод /6/ для решения ядернофизических задач был впервые применен в работе /7/. Итак, для $\overline{E^*}$ имеем:

$$\overline{E^*} = \overline{E_1^*} + \overline{E_2^*}, \quad \overline{E_i^*} = \sum_{n=0}^{\infty} W_n \left(n + \frac{1}{2} \right) h \omega_i - \frac{1}{2} h \omega_i, \quad /9/$$

$$\text{где } \epsilon = \frac{1}{2B} P_1^2 + \frac{1}{2} B \omega^2 [\beta_1 - \beta_0(0)]^2$$

$$P_1 = C_2 \int_{-\infty}^0 \beta_0(t) \cos(\omega t) dt$$

$$\beta_1 = -\omega \int_{-\infty}^0 \beta_0(t) \sin(\omega t) dt \quad /10/$$

$$\beta_0(t) = \frac{3}{2\sqrt{5\pi}} \frac{Z_1 Z_2 e^2 R_{01}^2 Y_{20}(0)}{C_3 R^3}$$

$$\omega = (C_2 / B)^{1/2},$$

$$W_n = \frac{1}{n!} \left(\frac{\epsilon}{h\omega} \right)^n \exp\left(-\frac{\epsilon}{h\omega}\right)$$

Расчеты, выполненные в работе /8/ для реакции $He + U$, показывают, что величина $\overline{E^*}$ не мала и может составлять 10-20 МэВ /т.е. около 2-5% от величины $V_B/$. Таким образом, ядерные силы в адиабатическом приближении, уменьшая динамическую деформацию под действием кулоновских сил, приводят к диссипации энергии на внутренние степени свободы ядер из кинетической энергии относительно движения в неадиабатическом приближении. Это, естественно, сказывается на величине барьера V_B .

2. Следует заметить, что величина Γ^{eff} /как правило, извлекаемая из данных по упругому рассеянию ядер/, не является одной и той же для всех реакций /4/. Флуктуации в величине Γ^{eff} связаны с проявлением конкретных свойств ядер, участвующих в реакции, с их gross-характеристиками, такими, например, как деформируемость, сжимаемость, поляризуемость. Поэтому, с точки зрения экспериментального выделения эффектов динамических искажений, нам представляется разумным изучать относительные изменения в величинах Γ^{eff} для серии реакций. Продемонстрируем это на примере реакции уп-

ругого рассеяния ^{16}O на изотопах ядер редкоземельной области Nd, Sm, а также Pb, Th, обладающих различными коэффициентами деформируемости C_2 . В качестве сравнения с экспериментом /не с точки зрения определения абсолютных величин r^{eff} , а с точки зрения установления тенденции в изменении величин r^{eff} / прием данные работы /9/. Во-первых, необходимо исследовать, как на результатах упругого рассеяния скажется наличие у ядер статической квадрупольной деформации.

Как правило, за основу для определения эффективного радиуса сильного взаимодействия берутся экспериментальные данные, в которых $\sigma(\nu)/\sigma_{\text{рез}} = 0,25$. Тогда учет статической деформации сводится к простой процедуре усреднения сечения $\langle \sigma(\nu, \theta, \phi) / \sigma_{\text{рез}} \rangle_{\theta, \phi}$ по всем ориентациям оси симметрии ядра-мишени. При этом предполагается, что ионы движутся по хорошо определенным кулоновским траекториям-гиперболам /справедливость этого приближения для $\sigma(\nu)/\sigma_{\text{рез}} = 1/4$ доказана /10/, и оно широко используется в литературе/, а форма ядер описывается эллипсоидом. В этом приближении сечение упругого рассеяния описывается усредненным по углам θ и ϕ квадратом проекции радиуса соприкосновения двух кривых 2-го порядка /гипербола+эллипс/ на плоскость, перпендикулярную направлению падающего пучка ионов.

Не приводя деталей расчета /метод изложен в работе /5/ /, в таблице приведен конечный результат для известных реакций. Из таблицы видно, что учет квадрупольной статической деформации у ядер-мишеней приводит к незначительному увеличению величин $(r^{\text{расч}} - r^{\text{норм}}) / r^{\text{норм}}$ относительно выбранного нормировочного значения $r^{\text{норм}}$ /абсолютные значения r^{eff} могут меняться на 7-10%, что находится в согласии с результатами работы /11/ /.

Учтем теперь, что ядра в процессе столкновения могут изменять свою форму, т.е. деформироваться. Тогда для относительного изменения величины эффективного радиуса сильного взаимодействия вследствие динамических искажений формы ядер имеем:

$$\int \frac{\delta R^{\text{eff}}(\theta)}{R^{\text{eff}}(\theta)} \sin \theta d\theta = \int [R^{\text{eff}}(\theta, \beta_0, \gamma=0) - R^{\text{eff}}(\theta, \beta, \gamma) / R^{\text{eff}}(\theta)] \times \\ \times \sin \theta d\theta = \left(\frac{5}{4\pi}\right)^{1/2} R_{01} \int [(\beta_0 P_2(\cos \theta) - \\ - \beta P_2(\cos \theta) + \beta \gamma \frac{\sqrt{3}}{2} \sin^2 \theta) / R^{\text{eff}}(\theta)] \sin \theta d\theta. \\ /11/$$

В /11/ β и γ находим из системы уравнений:

$$\beta = \left[\beta_0 - \frac{K}{C_2} P_2(\cos \theta) \right] \left[1 - \frac{3}{4} \left(\frac{K}{C_2} \right)^2 \sin^4 \theta \right]^{-1} \\ \gamma = \frac{\sqrt{3}}{2} \frac{K}{C_2} \sin^2 \theta \left[1 - \frac{3}{4} \left(\frac{K}{C_2} \right)^2 \sin^4 \theta \right] \left[\beta_0 - \frac{K}{C_2} P_2(\cos \theta) \right] \\ K = \frac{3 Z_1 Z_2 e^2 R_{01}^2}{2\sqrt{5\pi} (R^{\text{eff}})^3}; \quad R^{\text{eff}} = R_{\text{сф}}^{\text{eff}} \left[1 + \frac{R_{01}}{R_{\text{сф}}^{\text{eff}}} \beta_0 (5/4\pi)^{1/2} \times \right. \\ \left. \times P_2(\cos \theta) \right]. \quad /12/$$

Для деформационного потенциала принято соотношение:

$$V_{\text{д}}(\beta, \gamma) = \frac{C_2}{2} [(\beta - \beta_0)^2 + \gamma^2].$$

Кулоновское взаимодействие, вызывающее динамическую деформацию, в линейном по β и γ приближении, имеет вид:

$$V_{\theta}(\theta, \beta, \gamma) = \frac{3 Z_1 Z_2 e^2 R_{01}^2}{2\sqrt{5\pi} (R^{\text{eff}})^3} \beta [P_2(\cos \theta) - \frac{\sqrt{3}}{2} \sin^2 \theta \cdot \gamma]$$

$/R^{\text{eff}}$ - радиус соприкосновения ядер, который находится с помощью итерационной процедуры, /при этом используются /12/, /11/ - числители подынтегрального выражения/. Расчеты, выполненные по /Ф/П/, приводят к относительным изменениям величины эффективного радиуса

сильного взаимодействия на 7-10%, что находится в хорошем согласии с экспериментальными данными, приведенными в таблице.

Таблица

Реакция	$r_{\text{эксп}}^{\text{eff}}$	β_2	$r_{\text{расч}}^{\text{eff}}$	C_2	$r_{\text{расч}}^{\text{eff}}$
$^{16}\text{O} + ^{208}\text{Pb}$	1,35	0	1,350	1200	1,35
$^{16}\text{O} + ^{146}\text{Nd}$	1,29	0,2	1,353	35	1,29
$^{16}\text{O} + ^{152}\text{Sm}$	1,27	0,3	1,360	25	1,27
$^{84}\text{Kr} + ^{208}\text{Pb}$	1,19	0	1,290	1200	1,19
$^{84}\text{Kr} + ^{232}\text{Th}$	1,10	0,27	1,200	60	1,10
$^{84}\text{Kr} + ^{232}\text{Th}$	1,10	0,27	1,200	120	1,15

В столбце 4 даны значения эффективных радиусов взаимодействия с учетом эффекта статической деформации у ядер-мишеней ($\beta_2 \neq 0$, $C_2 = \infty$). В столбце 6 приведены значения r^{eff} с учетом эффектов статической и динамической / C_2 даны в столбце 5/ деформаций в процессе упругого рассеяния сложных ядер. При расчете величин r^{eff} предполагалось, что хвосты ядерных потенциалов дают одинаковый вклад в изменения r^{eff} для приведенных в таблице реакций. Значения C_2 , данные в таблице, были выбраны из условия наилучшего согласования с экспериментальными данными по r^{eff} . Отметим, что величины C_2 находятся в хорошем согласии с данными по C_2 , полученными на основе анализа энергий низколежащих коллективных состояний ядер и вероятностей BE2 -переходов.

3. Итак, анализ данных по упругому рассеянию с учетом статической квадрупольной деформации у ядер-мишеней, а также динамических искажений формы ядер в процессе столкновения приводит к выводу, что эти два эффекта действуют в противоположном друг другу направлении. Наличие статической квадрупольной деформации β_2 ($C_2 = \infty$) приводит к увеличению r^{eff} , учет динамических эффектов

($C_2 \neq \infty$) - к уменьшению значения r^{eff} . Величина эффекта / т.е. изменения r^{eff} / существенно зависит от конкретных характеристик ядер, участвующих в реакции. Как уже отмечалось, эффекты динамической деформации могут играть важную роль и в других процессах взаимодействия сложных ядер. Например, наблюдаемая в эксперименте /13/ разница в порогах реакций слияния и мультинуклонной передачи может быть следствием динамических эффектов искажения формы ядер. Дальнейший прогресс в понимании роли динамических эффектов в процессе взаимодействия сложных ядер заключается в необходимости обобщения метода на случай потенциалов с "размытым" краем, а также анализе роли неадиабатических эффектов, приводящих к диссипации энергии на внутренние степени свободы ядер из кинетической энергии относительного движения.

Литература

1. H.Holm, W.Scheid and W.Greiner. *Phys.Lett.*, 29B, 473, 1969.
2. A.S.Jensen and C.Y.Wong. *Phys.Rev.*, 10, 1321, 1970.
3. Я.Грабовский, Б.Н.Калинкин. ОИЯИ, Р4-5158, Дубна, 1970.
4. C.Y.Wong. *Phys.Lett.*, 42B, 186, 1972.
5. Б.Н.Калинкин, В.П.Пермяков, В.М.Милов. *Acta Phys. Polon.*, 3, 415, 1972.
6. А.И.Базь, Я.Б.Зельдович, А.М.Переломов. *Рассеяние, реакции и распады в нерелятивистской квантовой механике*. М., Наука, 1966.
7. Б.Н.Калинкин, В.П.Пермяков. ОИЯИ, Р4-7312, Дубна, 1973.
8. V.Bunakov, V.Permiakov, H.Schulz. *Phys.Lett.*, 59B, 2, 125, 1975.
9. A.M.Freidman, T.G.Cunninghame. *Proc. of the Intern. Conf. on Heavy Ion Physics*, D7-5769, Dubna, 1971.
10. W.E.Frahn. *Ann. of Phys.*, 72, 197, 1972.
11. N.Rowley. *Nucl. Phys.*, A219, 93, 1974.
12. А.С.Давыдов. *Возбужденные состояния атомных ядер*. М., Атомиздат, 1967.
13. Ю.Ц.Оганесян и др. *ЯФ*, 19, 486, 1974.

Рукопись поступила в издательский отдел
19 января 1976 года.